

Зависимость критических условий горения стехиометрических смесей пропан + кислород + азот от адиабатической температуры горения

Y	$T_{\text{ад}} \text{, К}$	$\gamma - \frac{RT_{\text{ад}}}{E}$	$\Delta T_{\Gamma}^*, \text{К}$			$\Delta q^*, \text{кал/г}$		
			без диссоциации		с учетом диссоц.	без диссоциации		с учетом диссоц.
			$\gamma=0$	$\gamma \neq 0$		$\gamma=0$	$\gamma \neq 0$	
1,0	3092	0,206	637	461	373	218	157	910
0,9	3064	0,204	625	454	369	214	154	826
0,8	3029	0,201	609	443	362	208	150	736
0,7	2986	0,199	594	434	354	203	148	638
0,6	2930	0,195	571	419	344	195	142	540
0,5	2853	0,19	542	400	331	185	136	433
0,4	2742	0,183	502	374	313	172	127	322
0,3	2563	0,171	438	332	285	150	113	208
0,15	1894	0,126	239	192	189	82	65	65

Результаты приведенного в настоящей работе рассмотрения пределов горения газовых смесей требуют экспериментальной проверки. В настоящее время достаточно подробно экспериментально исследованы лишь предельные размеры горения воздушных смесей. Установлено, что для них критическое число Пекле сохраняется [3]. Экспериментальное определение предельных размеров горения кислородных и обогащенных кислородом смесей проводилось в работах [4–6]. Полученных в них результатов, по-видимому, недостаточно для однозначного ответа на вопрос о влиянии диссоциации на пределы горения перемешанных газовых смесей. В свете настоящей работы необходимо проведение дальнейших исследований предельных диаметров горения кислородных и обогащенных кислородом смесей.

Поступила в редакцию 13/XI 1984

ЛИТЕРАТУРА

1. Я. Б. Зельдович. ЖЭТФ, 1941, 11, 1, 159.
2. Я. Б. Зельдович, Г. И. Баренблatt и др. Математическая теория горения и взрыва. М.: Наука, 1980.
3. И. П. Стрижевский, В. Ф. Заказнов. Промышленные огнепреградители. М.: Химия, 1966.
4. M. E. Harris, J. Grumer e. a. 13-th Symp. (Intern.) on Combustion, 1949.
5. В. А. Иванов. Физика взрыва ацетилена. М.: Химия, 1969.
6. A. L. Berlad. J. Phys. Chem., 1954, 58, 1023.

ВЛИЯНИЕ ПЛАВЛЕНИЯ НА ПАРАМЕТРЫ ГОРЕНИЯ ГАЗОПРОНИЦАЕМЫХ ТОПЛИВ

B. Г. Коростелев

(Черноголовка)

Горение газопроницаемых топлив в определенных условиях резко ускоряется [1]. Динамика этого явления рассмотрена в [2]. Для неплавящихся топлив разработана методика определения зависимости скорости горения от перепада давления на входе в поры и от фильтрационных, термодинамических и теплофизических характеристик топлива [3]. Цель данной работы — распространение этой методики на плавящиеся вещества.

Срыв нормального горения топлив, плавящихся при горении, происходит после нарушения сплошности расплава на поверхности горения и начала проникновения продуктов сгорания в поры [1]. Скорость v_c и давление p_c срыва в предположении определяющей роли термического расширения слоя расплава в изоляции пор определены в [4]. Остальные

параметры рассчитываются при использовании допущений работы [3]. Основные из них — предположения о квазистационарности условий фильтрации и применимости теплового критерия при определении времени задержки воспламенения. Поскольку рассматриваются плавающиеся системы, то ограничения [3] на размер пор снимаются.

Разлагая в ряд Тейлора соответствующее уравнение работы [3], предварительно получим необходимое для сравнений и более удобное для вычислений выражение для скорости горения при возникновении конвективного режима в плавающихся системах:

$$z_* \approx (4/ab)^{1/3} - 8p_n/3 \cdot (ab/4)^{1/3}. \quad (1)$$

Здесь $a = \frac{a_{\text{к}} m_0 (T_{\text{г}}/\bar{T} - 1)}{2 [k(\bar{T}) - 1] \lambda_{\text{к}} (T_{\text{в}} - T_{\text{н}})}; b = \frac{a_{\text{н}} m_{\text{н}} \mu}{0,656 K}; z_* = u_*/u_{\text{н}};$
 $\bar{T} = T_{\text{н}} + \frac{(T_{\text{г}} - T_*)}{\ln \left(\frac{T_{\text{г}} - T_{\text{н}}}{T_* - T_{\text{н}}} \right)}; \mu = \mu_{\text{н}} (\bar{T}/T_{\text{н}})^{\nu}; u_{\text{н}} = A_{\text{н}} p_0^{v_{\text{н}}};$

$\lambda_{\text{к}}, a_{\text{к}}$ — коэффициенты тепло- и температуропроводности твердой фазы; K, m_0 — газопроницаемость и открытая пористость топлива; $u_{\text{н}}$ — скорость нормального горения; u_* — скорость горения при переходе на конвективный режим; $T_{\text{г}}, T_{\text{н}}, T_{\text{в}}, *$ — температура горения, начальная, поверхности горения в нормальном режиме и обрезки температурного профиля в порах топлива; $p_{\text{н}}, p_0$ — начальное давление газа в порах и внешнее; $\mu_{\text{н}}$ — вязкость остывших газообразных продуктов горения; μ — средняя вязкость газа в зоне прогрева; k — отношение теплоемкостей газа; $v_{\text{н}}$ — показатель степени в зависимости скорости нормального горения от давления.

Как и в [4], используем капиллярную модель пористой среды [5]. В этом случае $K/m_0 \sim d_{\text{н}}^2$ ($d_{\text{н}}$ — начальный диаметр пор), соответственно $b \sim d_{\text{н}}^{-2}$ и $a \sim d_{\text{н}}^2$. Для плавающихся топлив $a_{\text{н}} \sim d_{\text{в}}^2, b_{\text{н}} \sim d_{\text{в}}^{-2}$ ($d_{\text{в}}$ — входной диаметр пор), поэтому применяя закон раскрытия пор при изменении внешнего давления [4], найдем:

$$a_{\text{н}} = a(1 - u_{\text{с}}/u_{\text{н}})^2, \quad b_{\text{н}} = b/(1 - u_{\text{с}}/u_{\text{н}})^2.$$

Из [3] с учетом равенства $a_{\text{н}} b_{\text{н}} = ab$ следуют зависимости для параметров, определяющих начало конвективного режима горения в плавающихся системах

$$p_{\text{к}} = p_{\text{н}} + b_{\text{н}} \cdot \frac{z_{\text{к}}^2}{4}, \\ z_{\text{к}} = \left(\frac{4}{ab} \frac{p_{\text{к}} - p_{\text{н}}}{p_{\text{к}} + p_{\text{н}}} \right)^{1/3}. \quad (2)$$

Подставляя (2) в выражение для $p_{\text{к}}$, получаем уравнение для его определения

$$\frac{b}{4a^2 (p_{\text{к}}^2 - p_{\text{н}}^2) (p_{\text{к}} + p_{\text{н}})} = \left[1 - \left(\frac{p_{\text{с}}}{p_{\text{к}}} \right)^{v_{\text{н}}} \right]^6. \quad (3)$$

Теперь, зная параметры срыва нормального горения [4] и начала конвективного режима (2) и (3), можно определить установившуюся скорость возмущенного горения [3]

$$z^3 + \frac{2}{b_{\text{н}}} \left(\frac{x_{\text{н}}}{a_{\text{н}}} - 2p_0 \right) v - \frac{2x_{\text{н}}}{ab} = 0, \quad z > 1, \quad p_{\text{с}} < p_0 \leq p, \\ z^2 + \frac{2}{V b_{\text{н}} \Delta p_0} \left(\frac{x_{\text{н}}}{a_{\text{н}}} - 2p_0 \right) z - \frac{2x_{\text{н}}}{a_{\text{н}} V b_{\text{н}} \Delta p_0} = 0, \quad p_{\Phi} < p_0 < p_{\text{к}}. \quad (4)$$

Здесь $\Delta p_0 = p_0 - p_{\text{н}}$; $x_{\text{н}} = 1/(z_{\text{к}} - 1)$.

Давление $p_{\text{к}}$ определяется пересечением кривых, описываемых уравнениями (4). Малые z удобнее вычислять по формуле $z \approx (1 - 2a_{\text{н}}p_0/x_{\text{н}})^{-1}$.

Для начальной (стартовой) скорости возмущенного горения имеем [3]

$$z_n^2 - \frac{2x_n\mu_n + a_n\mu_1(p_0 + p_n)}{x_n\mu_n + a_n\mu_1(p_0 + p_n)} z_n + \frac{x_n\mu_n - 4a_n^2\mu\Delta p_0(p_0 + p_n)^2/b_n x_n}{x_n\mu_n + a_n\mu_1(p_0 + p_n)} = 0,$$

$$\mu_1 = \mu - \mu_n.$$

Параметры срыва возмущенного горения (p_{cv} и u_{cv}) определяются графически как точка на кривой $u_k(p_0)$ с $v = v_n + 0,5$ [2]. Если не учитывать зависимость $T_r(p_0)$, то в отсутствие плавления с переходом на конвективный режим показатель степени v в зависимости $u_k(p_0)$ стабилизируется [2]. Для плавящихся систем вследствие изменения параметров пористой среды он продолжает оставаться переменным. С ростом давления по мере раскрытия пор v и u_k будут стремиться к предельным значениям v_* и $u_1 = u_*(p_0/p_*)^{v_*}$, соответствующим случаю $d_b = d_n$.

Согласно [3], после преобразований имеем

$$v_* = v_n + \frac{\bar{p}_*}{z_*} \cdot \frac{a\mu_1\mu_n + \frac{4a^2\mu}{b_n x} [2a\mu_1 p_* (p_* + p_n)^2 + x\mu_n (3p_*^2 + 2p_* p_n - p_n^2)]}{[2\mu_n + a\mu_1 (p_* + p_n) (2z_* - 1)] [x\mu_n + a\mu_1 (p_* + p_n)]}, \quad (5)$$

$x = 1/(z_* - 1)$; p_* — давление перехода на конвективный режим.

В конвективном режиме скорость горения определяется скоростью втекания газа в поры u_b [2]. Поскольку $u_b \sim d_b$, то и $u_k \sim d_b$ или $u_k \sim (1 - u_c/u_n)$. Полагаем

$$u_k = \varepsilon (1 - u_c/u_n) = \psi(p/p_k)^v,$$

где ε , ψ — коэффициенты. Используя это выражение при $p_0 = p_k$ и произвольном $p_0 > p_k$, исключаем ε и ψ . Учитывая далее, что при $p_0 = p_k$ $u_k(p_k) = u_{kk}$, $u_n(p_k) = u_{nk}$, а $v = v_k$, получим уравнения для определения скорости конвективного горения ($p_0 > p_k$)

$$u_k = u_{kk} \cdot (p_0/p_k)^v,$$

$$v = \lg \left(\frac{1 - u_c/u_{nk}}{1 - u_c/u_{kk}} p_k^{v_k} \right) / \lg p_0,$$

$$v_k \approx \lg [u_{kk}/u_{nk}(p_1)] / \lg (p_k/p_1), \quad p_1 \approx 0,999p_k.$$

Здесь u_{kk} — начальная скорость возмущенного горения; v_k — показатель степени в законе скорости конвективного горения в точке $p_0 = p_k$, определенный по наклону кривой $u_{kk}(p_0)$ при $p_0 \rightarrow p_k$ [3]. В заключение расчета определяется область запирания потока оттекающих продуктов горения [6], в которой горение переходит во взрыв

$$w = \frac{p_0}{\rho_k(1-m)} \cdot \sqrt{\frac{k(T_r) M}{2[k(T_r) + 1] R T_r}}, \quad (6)$$

w — критическая скорость горения; M — средняя молекулярная масса продуктов горения; ρ_k — плотность твердой фазы; R — универсальная газовая постоянная; m — общая пористость топлива.

Результаты расчета по предлагаемой методике и его исходные данные [4, 7—9] приведены в таблице и на рис. 1, 2 (сплошные кривые — расчет с учетом плавления, штриховые — без него, с — срыв нормального горения, *, к — начало конвективного горения, ●, + — данные, полученные при $\Delta p_0 = p_0 - p_n$ и $\Delta p_0 = 0$, условия эксперимента аналогичны [2]). Эксперимент лучше согласуется с расчетом, если считать, что T_b не зависит от давления, т. е. полагать, что это характерная температура разложения вещества.

Рассмотрим случай, когда газопроницаемая система представляет собой смесь плавящегося топлива и инертного неплавящегося вещества. Считаем, что закрытие пор эквивалентно этому процессу в однородном плавящемся веществе с характеристиками термического расширения, соответствующими смеси. Тогда, используя условие нарушения сплошности расплава $d_n/l_0 = 2\xi_n$ [4], получим выражения для определения параметров

срыва нормального горения смеси

$$p_c = \left[\xi_n \frac{a_0}{A_0} \sqrt{\frac{m_0}{8K}} \ln \left(\frac{T_b - T_e}{T_{pl} - T_n} \right) \right]^{1/v_0},$$

$$u_c = A_n p_c^{v_n},$$

$$\xi_n = \varphi \xi_0 + (1 - \varphi) \xi_d, \quad \varphi = \alpha \rho_k / \rho_0,$$

$$\xi_d = \beta_i (T_p - T_{pl}),$$

$$T_p = T_n + (T_s - T_{pl}) / \ln [(T_b - T_n) / (T_{pl} - T_n)],$$

где l_0 , a_0 , ρ_0 , α , φ — толщина слоя расплава, коэффициент температуропроводности, плотность, массовая и объемная доля плавящегося вещества; T_{pl} , T_p — температура плавления и средняя температура расплава; β_i , ξ_0 , ξ_d — коэффициенты объемного расширения и среднее относительное изменение объема в слое расплава для отдельных компонентов и их смеси; v_0 , v_n , A_0 , A_n — показатели степени и коэффициенты в законе скорости нормального горения плавящегося вещества и смеси.

Расчет параметров возмущенного и конвективного режимов горения проводится по тем же уравнениям, что и в случае однородных плавящихся топлив. При определении области запирания (6) необходимо учитывать массовую долю газифицирующихся компонентов смеси.

Психодные данные и примеры расчета приведены в таблице и на рис. 3, а, б. Тенлоемкость смеси c_k рассчитывалась по парциальным объемам v_0 и v_d компонентов [10]

$$c_k \rho_k = c_0 \rho_0 v_0 + c_d \rho_d v_d,$$

теплопроводность λ_n по формуле [10]

$$\frac{\lambda_k - \lambda_n}{\lambda_0 - \lambda_d} \left(\frac{\lambda_n}{\lambda_k} \right)^{1/3} = 1 - v_{1*}$$

Для сравнения расчета с экспериментальными данными необходимо уяснить условия эксперимента. Для этого оценим и сравним характерные времена процесса. Используя результаты работы [1, 2, 11], получим

$$t_3 \approx \frac{a_k}{u_n^2}, \quad t_r = \frac{l_n}{u_k}, \quad t_0 = \frac{0,656 K_n \Delta p_0}{m_n \mu_n u_k^2},$$

$$t_* = 0,381 \frac{m_n \mu_n L^2}{K_n \Delta p_0}, \quad t_1 = \theta \frac{m_n \mu_n L^2}{3K_n \Delta p_0} \ln \left(\frac{\Delta p_0}{\Delta p} \right),$$

$$t_p = t_* + t_1, \quad \theta = \frac{V_c + V_n}{V_n}, \quad L = L_n - \frac{L_c}{z},$$

$$\Delta p = b_n z^2 / 4.$$

Здесь t_r , t_3 , t_0 , t_* , t_p , t_1 — время выгорания измерительной базы длиной l_n , задержки воспламенения, формирования зоны фильтрации установленного горения, прохождения фронтом фильтрации средней длины

Вещество	$\rho_k, \text{г/см}^3$	$C_k, \text{кал/(г}\cdot\text{град}$	$\lambda_k, 10^4, \text{кал/с}\cdot\text{м}\cdot\text{град}$	$a_k \cdot 10^4, \text{см}^2/\text{с}$	$T_{1*}, \text{К}$	$T_b, \text{К}$	$T_r, \frac{\overline{T}_{p*}}{K_n}$	$m_n, \text{г/см}^3$	$K \cdot 10^{12}, \text{см}/\text{с}$	$u_n(p_0), \text{см/с}$	$\frac{\xi_n}{\xi_d} \cdot 10^2$
Гексоген	4,806	0,26	4,6	9,8	475	613	3270	0,44	80	$0,04 P_0^{0,82}$	5,2
Тэн	4,78	0,3	6	41,2	413	543	3430	0,08	7	$0,011 P_0^{0,9}$	5,0
Октиген	4,96	0,24	8,3	47,6	551	653	3265	0,3	287	$0,025 P_0^{0,9}$	4,0
Гексоген + 20% ZrO ₂	2,091	0,232	5,40	41,1	475	613	3075	0,48	58	$4,685 \cdot 10^{-2} P_0^{0,756}$	4,83
Гексоген + 40% ZrO ₂	2,484	0,204	6,85	43,5	475	613	2880	0,28	93,8	$5,676 \cdot 10^{-2} P_0^{0,63}$	4,3

Приложение. $T_n = 290 \text{ К}$; $T_* = 300 \text{ К}$; $p_n = 1 \text{ атм}$; $\kappa = 0,8$; $\mu_n = 1,8 \cdot 10^{-4} \Pi_3$; $k(\overline{T}) = 1,35$; $k(T_p) = 1,25$.

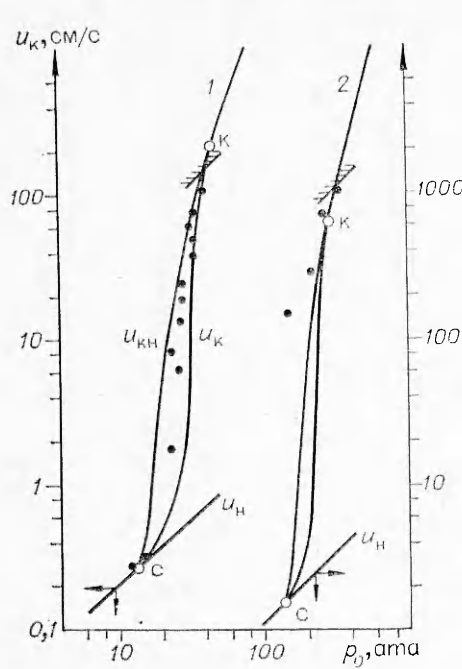


Рис. 1. Зависимость скорости горения u_k октогена (1) и тэна (2) от давления p_0 .

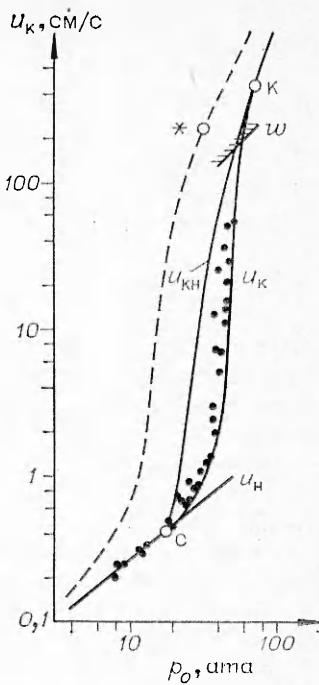


Рис. 2. Зависимость $u_k(p_0)$ для гексогена.

образца L , установления перепада давления Δp на границах области проникновения (переброски) газа [12], соответствующего установившемуся горению, и времени повышения давления в свободном объеме V_c до достижения перепада Δp ; t_n , K_n — пористость и газопроницаемость, соответствующие входному диаметру пор; 0 — коэффициент, учитывающий величину свободного объема на глухом торце заряда; L_c — длина сгоревшей части образца; L_n — начальная длина образца; V_n — объем пор в заряде до начала горения.

Если время процесса $t_a + t_r \leq t_*$, то отклонение от условий, обеспечивающих установившийся режим горения, можно определить по отношению

$$t_0 / (t_a + t_r) = \gamma_0.$$

Регистрируемая скорость горения u_r тем ближе к установившейся u_k , чем меньше γ_0 (при $\gamma_0 \approx 1$, $u_r \approx u_k$). Когда $t_a + t_r > t_*$, условия эксперимента может характеризовать величина параметра

$$\gamma = \frac{t_p}{t_0} \frac{t_a + t_r}{t_*} =$$

$$= [1 + 0,875 \Theta \ln (\Delta p_0 / \Delta p)] \frac{1}{\gamma_0}.$$

В случае $\gamma \ll 1$, $u_r < u_k$. Если $\gamma \approx 1$, то $u_r \approx u_k$, а при $\gamma > 1$ $u_r > u_k$.

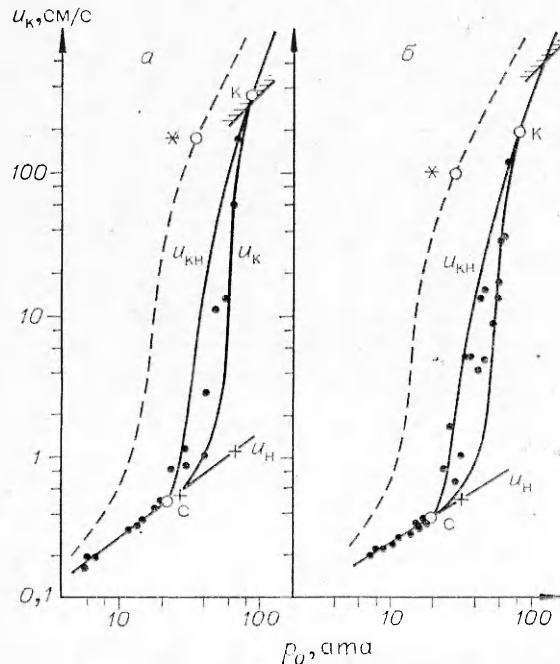


Рис. 3. Зависимость $u_k(p_0)$ для гексогена + 20% ZrO_2 (а) и гексогена + 40% ZrO_2 (б).

Установившемуся горению могут соответствовать участки, имеющие по давлению одну или две граничи: $p_0 < 21$ атм (см. рис. 1, 1), $p_0 < 160$ и $p_0 > 220$ атм при $L_c \leq 2$ см (рис. 1, 2); $p_0 = 30 \div 40$ атм и $p_0 > 50$ атм (см. рис. 2).

Знание параметров γ и γ_0 позволяет объяснить имеющиеся отклонения расчета от эксперимента. При этом необходимо учитывать, что в конвективном режиме, развивающемся одномерно (без проскоков горения в отдельные поры) [2, 12, 13], ведущим является давление в зоне горения, а не внешнее (как в расчете). В возмущенном и неодномерном конвективном режимах эти давления поочередно ведут процесс [2, 13], поэтому эффективно действующее давление будет иметь некоторое промежуточное между ними значение.

Действующее давление повышается и при наличии препятствий оттоку продуктов горения во внешний объем. Например, для составов с ZrO_2 на начальном участке возмущенного горения наблюдалась тенденция к образованию каркаса из ZrO_2 , что сказалось на скорости горения (см. рис. 3). Направленно изменения (по параметрам γ и γ_0) условия сгорания, можно видоизменять закон скорости возмущенного горения. Приближенное выражение (1), уравнения (5), (6), а также параметрическую оценку условий горения и учет зависимости $k(T)$ рекомендуется использовать и при расчете параметров горения неплавящихся систем (см. [3]).

В заключение отметим вытекающие из анализа результатов данной работы особенности горения плавящихся систем по сравнению с неплавящимися:

1) начало возмущенного и конвективного режимов горения отодвигается в область больших давлений и скоростей горения в соответствии с величиной среднего относительного изменения объема в слое расплава;

2) показатель степени в законе конвективного горения увеличивается и становится зависимым от давления;

3) благодаря неполному открытию пор ($d_s < d_p$), горение менее чувствительно к длине заряда (особенно вблизи давления срыва нормального режима горения).

*Поступила в редакцию 25/VII 1984,
после доработки — 19/XII 1984*

ЛИТЕРАТУРА

1. А. Ф. Беляев, В. К. Боболев и др. Переход горения конденсированных систем во взрыв. М.: Наука, 1973.
2. В. Г. Коростелев, Ю. В. Фролов. ФГВ, 1982, 18, 2, 3.
3. В. Г. Коростелев, Ю. В. Фролов. ФГВ, 1982, 18, 3, 25.
4. В. Г. Коростелев. ФГВ, 1985, 21, 6.
5. Л. С. Лейбензон. Движение природных жидкостей и газов в пористой среде. М.: Гостоптехиздат, 1947.
6. Б. С. Ермолаев, А. А. Сулимов, В. Е. Храповский и др.— В кн.: Горение конденсированных систем. Черноголовка, 1977.
7. А. Ф. Беляев. ЖФХ, 1948, 22, 99.
8. В. М. Dodratz. LLNL Explosives Handbook, 1981.
9. И. И. Бахман, А. Ф. Беляев. Горение конденсированных систем. М.: Наука, 1967.
10. Ли, Тэйлор. Тсплонпередача, 1978, 100, 4, 177.
11. Г. И. Баренблatt. Изв. АН СССР. ОТН, 1954, 6, 97.
12. В. Г. Коростелев, Ю. В. Фролов. ФГВ, 1979, 15, 2, 88.
13. Yu. V. Frolov, V. G. Korostelev. Actes du colloque int. de pyrotechnie fondamentale et appliquee substances. October 1982 (Arcachon — France). V. 1.